

BOSILJKA STOJANOVIĆ<sup>1</sup>, JOVAN UKOVIĆ<sup>2</sup>,  
MILADIN DROBNJAK<sup>3</sup>

Originalni naučni rad  
UDC:628.032.043(497.16)

## Depozicija (suva) zagađujućih materija na području Semberije

Zagađujuće materije emitovane u atmosferu se ponovo deponuju na zemljinu površinu kao suva ili mokra depozicija. Suve depozicije se procjenjuju modeliranjem. U ovom radu je procjenjena suva depozicija gasova  $SO_2$ ,  $NO_x$  i jona  $NH_4^+$ ,  $NO_3^-$ ,  $SO_4^{2-}$ ,  $Na^+$ ,  $Mg^{+2}$  u januaru i julu 2013. u Bijeljini i izračunat potencijal zakiseljavanja preko suve depozicije kiselih gasova i jona ( $PAI_{(suva)}$ ).

**Ključne riječi:** suva depozicija, zagađujuće materije, imisije, zakiseljavanje

### 1. UVOD

Već nekoliko decenija je jasna spoznaja da je ovje anstvo, pored izvanrednih uspjeha u mnogim oblastima nauke i tehnologije, suočeno sa ugroženošću u životne sredine. Posebno zabrinjavaju antropogene emisije polutanata u atmosferu u kojoj se odvijaju složene hemijske reakcije i dinamički procesi. Materije emitovane u atmosferu vremenom podliježu pojedinim transformacionim procesima, uz nastanak novih jedinjenja koja se zajedno sa originalno emitiranim materijama deponuju na zemljinu površinu. Ta depozicija se odvija bez učešća molekula vode (suva depozicija) ili sa učešćem molekula vode (mokra depozicija). To dovodi, pored fenomena iščekivanja atmosfere, do pojedinih problema u životnoj sredini kao što je zakiseljavanje zemljišta, vodenih sistema, oštete enjaka bioloških materijala i ugrožavanja zdravila ljudi.

### 2. SUVA DEPOZICIJA

Suva depozicija se odnosi na gasove i estice, nezavisna je od atmosferskih padavina, a regulisana je koncentracijom zagađujućih materija u vazduhu i transportom kroz granični sloj, hemijskom i fizičkom prirodnom depozicionim vrsta i efikasnošću u površine koja prihvata ili apsorbuje deponovani materijal [1].

Ona predstavlja dio ukupne razmjene materija između atmosfere i površine Zemlje tim prije jer se deponovani gasovi ponekad reverzibilno apsorbuju tako da se, u određenim uslovima, mogu ponovo reemitovati u atmosferu.

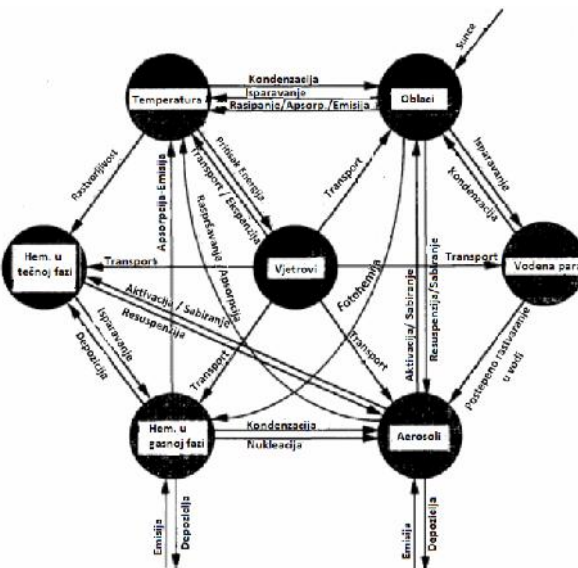
Direktno mjerjenje suve depozicije je složeno i vrlo se rijetko u svijetu izvodi te se procjenjuje matematičkim modeliranjem. Iako je modeliranje suve depozicije već dugo dio hemijskih transportnih modela još uvek ima dosta nepoznanica u ovom polju i razlike u modelovanim depozicijama su 2-3 puta u zavisnosti od korištenog modela [2].

Adrese autora: <sup>1</sup>RiTE Ugljevik, R. Srpska, <sup>2</sup>Tehnološki fakultet Zvornik, Univerzitet Istoka Sarajevo, R. Srpska, <sup>3</sup>Patenting, Beograd, Srbija

Primljeno za publikovanje: 12. 02. 2014.

Prihvatoeno za publikovanje: 10. 05. 2014.

Mada je razvijeno više modela, „multi layer“ modeli uključujuju interakciju između hemijskih procesa u atmosferi, meteoroloških uslova i bioloških pojava (kao fotosinteze). Složenost ovih interakcija je šematski pokazana na slici 1 [3].



Slika 1 - Moguće interakcije pri suvoj depoziciji

Figure 1 - The possible interactions by the dry deposition

Uobičajeni i najprihvatljiv metoda procjene suve depozicije je tzv. "zaključak metod", kombinacija mjerjenja i modeliranja koji uključuje indirektnu procjenu suve depozicije na osnovu rutinskih mjerene ambijentalne koncentracije zagađujućih materija i meteoroloških parametara. Suva depozicija (fluks) se procjenjuje kao umnožak ambijentalne koncentracije i brzine depozicije za svaku zagađujuću u materiju posebno:

$$F = VdxC \quad (1)$$

gdje je  $Vd$  (m/s) brzina depozicije, a  $C$  ( $\mu\text{g}/\text{m}^3$ ) koncentracija zagađujućih materija u vazduhu.

Brzina depozicije je funkcija otpora i definije se kao inverzija zbiru aerodinamičkog otpora ( $R_a$ ), kvazi-laminarnog otpora ( $R_b$ ) i otpora površine ( $R_c$ ):

$$Vd = (Ra + Rb + Rc)^1 \quad (2)$$

Ra je zajednički za sve polutante i predstavlja otpor atmosfere između u najnižeg PGS-a (planetarni granični sloj) na kome se modeluje koncentracija u modelu i hrapavosti površine na koju se polutant deponuje. Rb je otpor difuzije supstance kroz kvazi laminarni sloj, a Rc predstavlja otpor pri taloženju polutanta na krošnjama vegetacije uključujući i otpor stoma, mezofilnih i kutikularnih procesa, otpor prema vrsti zemljišta, vodi ili urbanoj sredini [4,5].

$$PAI_{suva} = \frac{[SO_2]}{64} + \frac{[NO_2]}{46} + \frac{[HNO_2]}{47} + \frac{[HNO_3]}{63} + 2 \frac{[SO_4^{2-}]}{96} + \frac{[NO_3^{-}]}{62} + \frac{[NH_4^{+}]}{18} - \left\{ \frac{[K^{+}]}{39} + \frac{[Na^{+}]}{23} + 2 \frac{[C_a^{+2}]}{40} + 2 \frac{[M_g^{+2}]}{24} \right\} \quad (3)$$

### 3. METODOLOGIJA I METODE ISTRAŽIVANJA

U užem gradskom jezgru Bijeljine na kontinualnoj imisijskoj stanici pravene su jednosatne vrijednosti meteoroloških parametara (temperatura, sunčev zračenje, relativna vlažnost, smjer i brzina vjetra) i jednosatne koncentracije  $SO_2$  i  $NO_x$ . Imisijska stanica je opremljena Horiba opremom, a parametri su pravene sljedećim mjernim metodama:  $SO_2$  UV apsorpcijom, NO,  $NO_2$  i  $NO_x$  hemiluminiscencijonom apsorpcijom (CLD), PM10 beta apsorpcijom, smjer i brzina vjetra ultra zvučnom metodom, vlažnost vazduha Hygro klijom, temperatura Pt-senzorom, atmosferski pritisak elektronskim barometrom i globalno zračenje po principu mjenjenja razlike u temperaturi između bijelog i crnog sektora indikatora. Mjerne metode imisije su po standardima ISO 7006:1985 za azotne okside i ISO 10498 za  $SO_2$ . Koncentracije jednosatnih imisija su izražene u  $\mu g/m^3$  [7]. Koncentracije jona  $NH_4^{+}$ ,  $NO_3^{-}$ ,  $SO_4^{2-}$ ,  $Na^{+}$ ,  $Mg^{+2}$  i  $Ca^{+2}$  su određene ekstrakcijom mrlje na filter traci PM10, jonskohromatografskom analizom ekstrata, a zatim je prema preniku mrlje, protoka vazduha i dužini ekspozicije pravljena unata koncentracija jona i izražena u  $\mu g/m^3$ . Kako su ekstrakcije uravnotežene nekoliko puta s pravom se govori o procjeni koncentracija jona.

Meteorološki podaci sa imisijske stanice su korišteni za izračunavanje aerodinamičkog otpora, a elementi za određivanje Rc su pripremljeni: prema Lokalnom akcionom planu Bijeljine [8] procijenjena je struktura površine u opštini Bijeljina (tip

Prema izračunatoj suvoj depoziciji pojedinih polutana na određenoj površini određuju se procjene potencijala zakiseljavanja suvom depozicijom ( $PAI_{suva}$ ) te površine. PAI predstavlja zbir ekvivalentnih masa suvih depozicija svih zakiseljavajućih zagađujućih materija umanjenih za zbir ekvivalentnih masa suvih depozicija svih zagađujućih materija koje neutrališu kiselost u atmosferi. Potencijal zakiseljavanja (PAI) za suvu depoziciju se računa po jedna ina [6]:

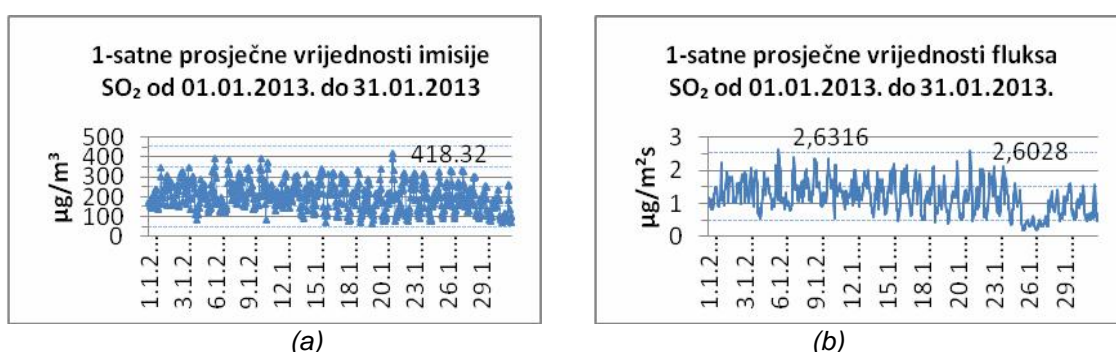
$$PAI_{suva} = \frac{[SO_2]}{64} + \frac{[NO_2]}{46} + \frac{[HNO_2]}{47} + \frac{[HNO_3]}{63} + 2 \frac{[SO_4^{2-}]}{96} + \frac{[NO_3^{-}]}{62} + \frac{[NH_4^{+}]}{18} - \left\{ \frac{[K^{+}]}{39} + \frac{[Na^{+}]}{23} + 2 \frac{[C_a^{+2}]}{40} + 2 \frac{[M_g^{+2}]}{24} \right\} \quad (3)$$

zemljišta, pokrivenost šumama, vegetacijom, urbanom području, prema topografskim kartama 1:25000 određena je veličina vodenog ogledala, a indeks lisne površine za vegetaciju u području opštine Bijeljine je 5 literarno [9]. Period istraživanja je januar 2013. i juli 2013.

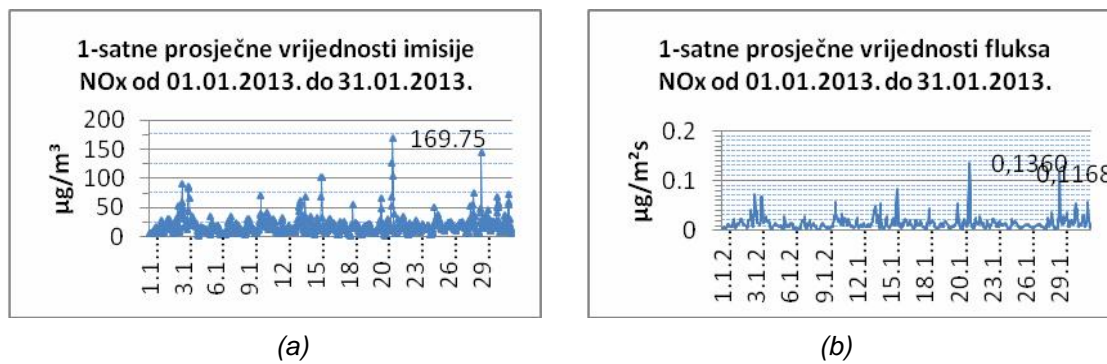
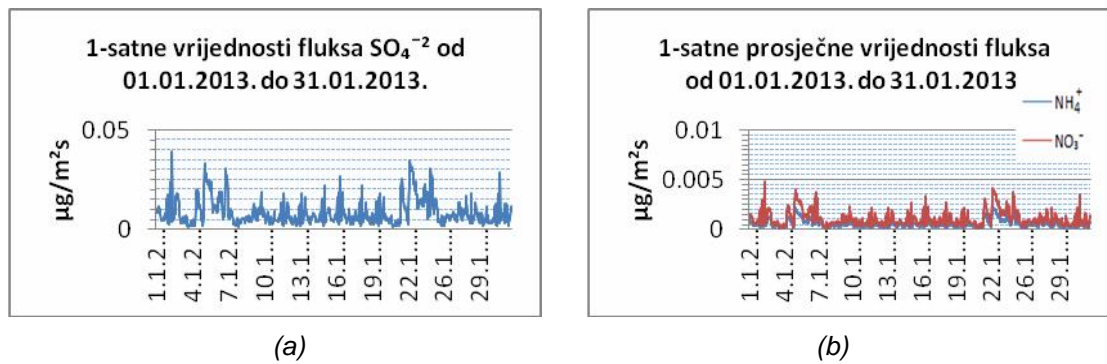
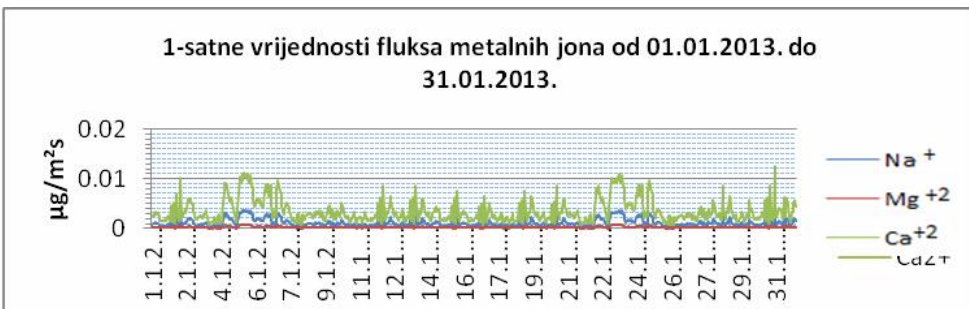
Koristeći modele AENV (Alberta Environment) i EDACS (European Deposition maps of Acidifying Compounds on a Small scale) [6,10,11] su izračunate, u MATLAB R2009b, brzine suve depozicije gasova  $SO_2$  i  $NO_x$  i jona  $NH_4^{+}$ ,  $NO_3^{-}$ ,  $SO_4^{2-}$ ,  $Na^{+}$ ,  $Mg^{+2}$  i  $Ca^{+2}$ . Na osnovu rezultata brzina depozicija, mjerljivih imisijskih koncentracija  $SO_2$  i  $NO_x$  i procijenjenih koncentracija metalnih jona izračunat je jednosatni fluks za svaki parametar po jedna ina (1). Saglasno jedna ina (3) je izračunat  $PAI_{suva}$  za površinu koju pokriva opština Bijeljina.

### 4. REZULTATI ISTRAŽIVANJA

Imisijske koncentracije polutanata, prvenstveno  $SO_2$ , u Bijeljini najviše potječe od emisija iz velikih ložišta u regionu, kao što su termoelektrane najbliže u Ugljeviku, zatim Tuzli, Obrenovcu i Kaknju, ali i od emisija iz malih ložišta na području Bijeljine u period grejnje sezone. Na slikama 2,3,4 i 5 su dati grafi koji prikazuju 1-satnih imisijskih vrijednosti i 1-satnih vrijednosti fluksa za  $SO_2$  i  $NO_x$  i jona  $NH_4^{+}$ ,  $NO_3^{-}$ ,  $SO_4^{2-}$ ,  $Na^{+}$ ,  $Mg^{+2}$  i  $Ca^{+2}$  tokom mjeseca januara 2013., a na slikama 6,7,8 i 9 su dati grafi koji prikazuju 1-satnih imisijskih vrijednosti i 1-satnih vrijednosti za iste parametre tokom jula 2013.

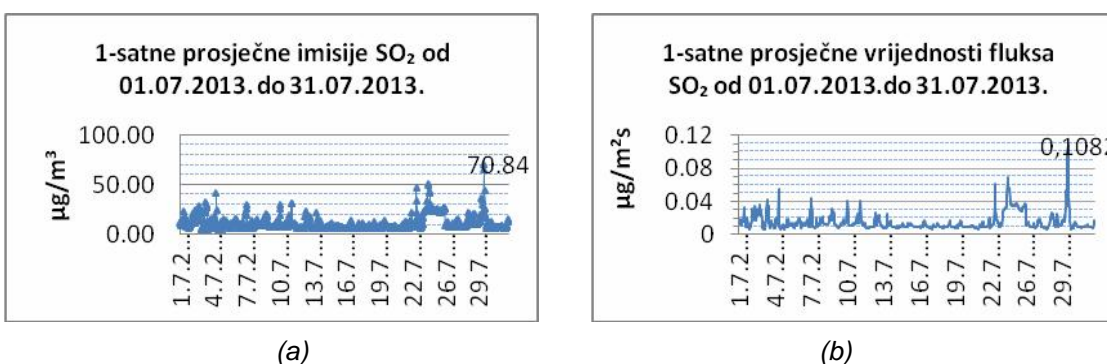


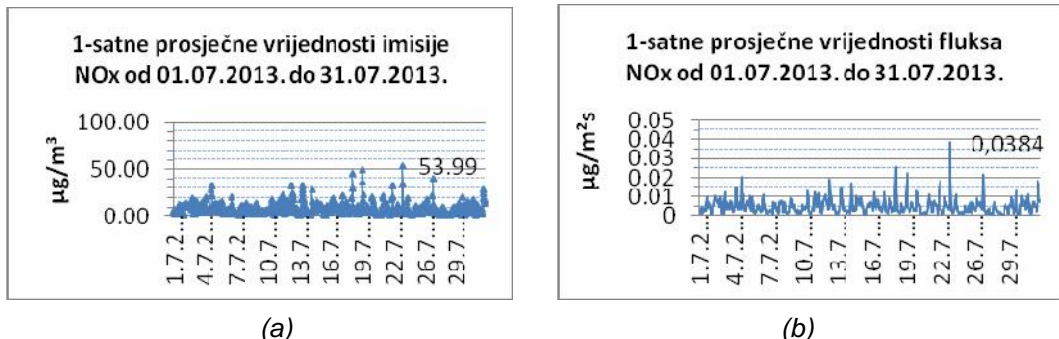
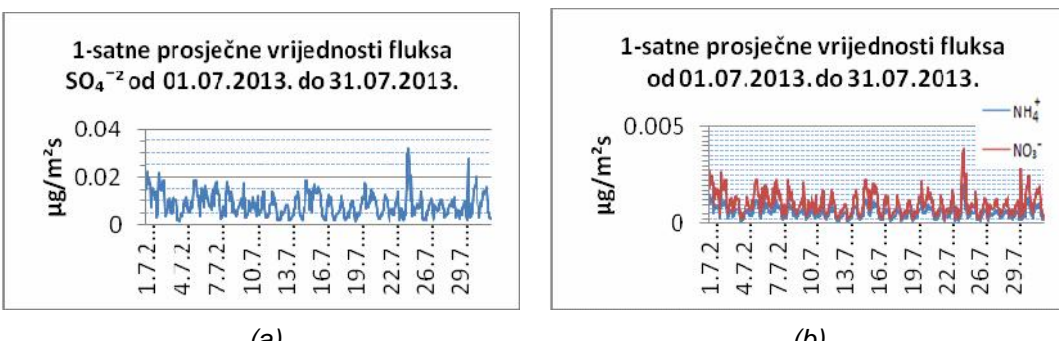
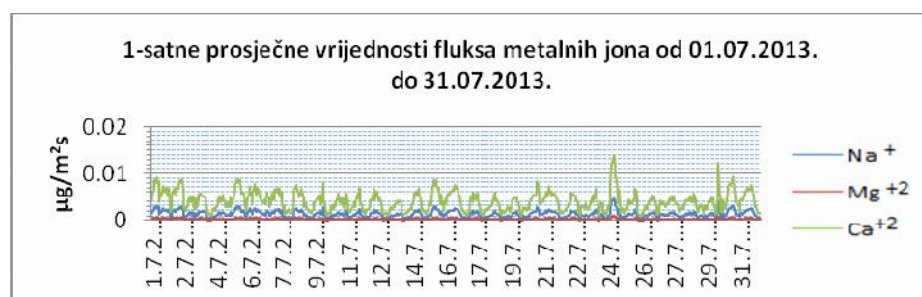
Slika 2 - Imisije i suve depozicije  $SO_2$  tokom januara 2013.  
Figure 2 - Immissions and dry depositions  $SO_2$  in January 2013.

Slika 3 - Imisije i suve depozicije NO<sub>x</sub> tokom januara 2013.Figure 3 - Imissions and dry depositions NO<sub>x</sub> in January 2013Slika 4 - Suve depozicije SO<sub>4</sub><sup>2-</sup>, NH<sub>4</sub><sup>+</sup> i NO<sub>3</sub><sup>-</sup> tokom januara 2013.Figure 4 - Dry depositions SO<sub>4</sub><sup>2-</sup>, NH<sub>4</sub><sup>+</sup> i NO<sub>3</sub><sup>-</sup> in January 2013

Slika 5 - Suve depozicije metalnih jona tokom januara 2013.

Figure 5 - Dry depositions of metal ions in January 2013.

Slika 6 - Imisije i suve depozicije SO<sub>2</sub> tokom jula 2013.Figure 6 - Imissions and dry depositions SO<sub>2</sub> in July 2013.

Slika 7 - Imisije i suve depozicije NO<sub>x</sub> tokom jula 2013.Figure 7 - Imissions and dry depositions NO<sub>x</sub> in July 2013.Slika 8 - Suve depozicije SO₄²⁻, NH₄⁺ i NO₃⁻ tokom jula 2013.  
Figure 8 - Dry depositions SO₄²⁻, NH₄⁺ i NO₃⁻ in July 2013.

Slika 9 - Suve depozicije metalnih jona tokom jula 2013.

Figure 9 - Dry depositions of metal ions in July 2013.

## 5. DISKUSIJA DOBIJENIH REZULTATA

U januaru 2013. je samo 4,29% imisija SO<sub>2</sub> < 90 µg/m<sup>3</sup> gdje pripada i minimalna imisija je 61,87 µg/m<sup>3</sup>, dok 95,71% imisija je > 90 µg/m<sup>3</sup> sa maksimumom od 418,32 µg/m<sup>3</sup>. Većina jednosatnih suvih depozicija SO<sub>2</sub> je > 1 µg/m<sup>2</sup>s sa maksimalnom vrijednošću od 2,6316 µg/m<sup>2</sup>s, a prosječna depozicija SO<sub>2</sub> u ovom mjesecu je 2,0355 µg/m<sup>2</sup>s.

U julu 2013. su samo dvije imisije SO<sub>2</sub> već od 60 µg/m<sup>3</sup>, a suva depozicija SO<sub>2</sub> prati tok imisije. Maksimalna jednosatna suva depozicija je 0,1081 µg/m<sup>2</sup>s, a prosječna tokom ovog mjeseca je 0,0150 µg/m<sup>2</sup>s. Poređenjem jednosatnih suvih depozicija se saznaje da je prosječna suva depozicija SO<sub>2</sub> u januaru 135,7 puta veća nego u julu. Visoke suve depozicije SO<sub>2</sub> u januaru su posljedica emisija SO<sub>2</sub> nastalih sagorijevanjem ugljjevi kog uglja, sa sa-

držajem sumpora 4,5%, u domaćinstvima, brojnim individualnim kotlovcicama i gradskoj topnici, koji su dimnjaci niski zbog čega sve emitovane materije se zadržavaju najvećim dijelom na lokalitetu emisija.

Minimalna imisija NO<sub>x</sub> u januaru 2013. je 1,81 µg/m<sup>3</sup>, a maksimalna 169,75 µg/m<sup>3</sup>. Maksimalna jednosatna suva depozicija NO<sub>x</sub> u januaru 2013. je 0,1360 µg/m<sup>2</sup>s, a prosječna je 0,0145 µg/m<sup>2</sup>s.

U julu mjesecu su samo tri imisije NO<sub>x</sub> već od 40 µg/m<sup>3</sup>. Najveća jednosatna suva depozicija NO<sub>x</sub> u julu je 0,0384 µg/m<sup>2</sup>s, a prosječna 0,0049 µg/m<sup>2</sup>s.

Poređenjem jednosatnih suvih depozicija NO<sub>x</sub> u posmatranom periodu se zapaža da je prosječna depozicija NO<sub>x</sub> u januaru veća za 66,21% od depozicije u julu. Povoljan proces sagorijevanja zahtjeva višak vaziđa sa kojim u ložište se unosi

azot koji se u procesu sagorijevanja goriva oksiduje do oksida, a upravo se ovim objašnjava povećana koncentracija NOx u januaru odnosno povećana depozicija NOx u ovom mjesecu.

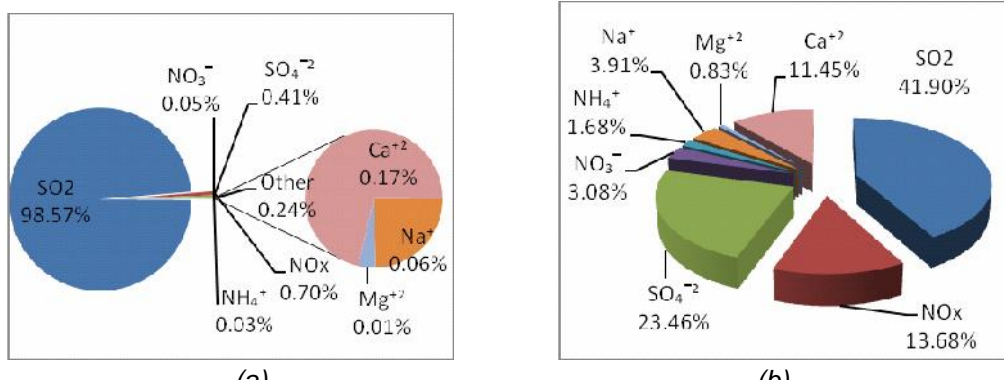
Prosječne jednosatne suve depozicije jona u januaru su:  $\text{SO}_4^{2-}$  0,0085  $\mu\text{g}/\text{m}^2\text{s}$ ,  $\text{NH}_4^+$  0,0006  $\mu\text{g}/\text{m}^2\text{s}$ ,  $\text{NO}_3^-$  0,0011  $\mu\text{g}/\text{m}^2\text{s}$ ,  $\text{Na}^+$  0,0012  $\mu\text{g}/\text{m}^2\text{s}$ ,  $\text{Mg}^{+2}$  0,0003  $\mu\text{g}/\text{m}^2\text{s}$  i  $\text{Ca}^{+2}$  je 0,0041  $\mu\text{g}/\text{m}^2\text{s}$ . Depozicije jona u oba mjeseca su ujednačene.

Izračunate su suve depozicije svih polutanata tokom mjeseca po površini jednog hektara, što je prikazano u tabeli 1, a na slici 10 su prikazani kvantitativni sastavi suvih depozicija u januaru i julu.

Tabela 1 - Suve depozicije polutanata u posmatranom periodu

Table 1 - Dry deposition of pollutants in the observed period

Mjesec	kg/ha mjesec							
	$\text{SO}_2$	$\text{NOx}$	$\text{SO}_4^{2-}$	$\text{NO}_3^-$	$\text{NH}_4^+$	$\text{Na}^+$	$\text{Mg}^{+2}$	$\text{Ca}^{+2}$
I	54,5183	0,3884	0,2277	0,0295	0,0161	0,0321	0,0054	0,0937
VII	0,4018	0,1312	0,2250	0,0295	0,0161	0,0375	0,0080	0,1098



Slika 10 - Procentni sastav suve depozicije u januaru (a) i julu (b)  
Figure 10 - Percentage composition of dry deposition in January (a) and in July(b)

Na području Bijeljine su visoke suve depozicije  $\text{SO}_2$  0,4018-54,5183 kg/ha mjesec, depozicije NOx su od 0,1312-0,3884 kg/ha mjesec, depozicije  $\text{SO}_4^{2-}$  skoro jednake 0,2250-0,2277 kg/ha mjesec, a depozicije ostalih polutanata su manje. U januaru mjesecu u najvećem procentu 98,57% su depozicije  $\text{SO}_2$ , 0,70% pripada depoziciji NOx, a 0,73% se odnosi na preostalih šest polutanata. Ovakav kvantitativni sastav suvih depozicija je u saglasnosti sa gore navedenom kvalitetu goriva (visok sadržaj sumpora) i procesu sagorijevanja u malim ložištima. U julu mjesecu kvantitativni sastav suve depozicije je: 41,90%  $\text{SO}_2$  i 23,46%  $\text{SO}_4^{2-}$  što se

objašnjava povoljnijim meteorološkim uslovima za oksidaciju  $\text{SO}_2$  u  $\text{SO}_4^{2-}$ . Udio NOx je 13,68 %. Udio jona  $\text{Ca}^{+2}$  11,45% i jona  $\text{Na}^+$  3,91% je povećan, a objašnjava se povećanjem prisutstvom prašine u ljetnjem periodu.

Analizom depozicija odrediti je odnos depozicije  $\text{SO}_2$  prema depoziciji ukupnog sumpora i depozicije NOx prema depoziciji ukupnog azota, a rezultati prikazani u tabeli 2. U januaru mjesecu 99% depozicija sumpora potiče u odnosu depozicija  $\text{SO}_2$ , a u julu 64%, dok 90% depozicija azota u januaru potiče u odnosu NOx, a u julu 75%.

Tabela 2 - Odnos depozicije  $\text{SO}_2/\text{NOx}$  prema ukupnoj depoziciji sumpora/azota

Table 2. The ratio of deposition  $\text{SO}_2/\text{NOx}$  the total deposition of sulfur / nitrogen

Mjesec	kg/ha mjesec						
	$\text{SO}_2$	$\text{SO}_4^{2-}$	$\text{SO}_2/\text{S}_{\text{u.}}$	$\text{NOx}$	$\text{NO}_3^-$	$\text{NH}_4^+$	$\text{NOx}/\text{N}_{\text{u.}}$
I	54,5183	0,2277	0,99	0,3884	0,0295	0,0161	0,91
VII	0,4018	0,2250	0,64	0,1312	0,0295	0,0161	0,74

$$\frac{\text{SO}_2}{\text{S}} = \frac{\text{SO}_2}{\text{SO}_2 + \text{SO}_4^{2-}}$$

$$\frac{\text{NO}_x}{\text{N}} = \frac{\text{NO}_x}{\text{NO}_x + \text{NO}_3^- + \text{NH}_4^+}$$

Izračunati PAI<sub>(suva)</sub> je:

- u januaru 0,8597  $\text{kgH}^+/\text{ha mjesec}$
- u julu -0,0878  $\text{kgH}^+/\text{ha mjesec}$

Za procjenu oštete ekosistema depozicija obično se depozicije porede sa kritnim opterećenjem, koje se definije kao koljena zagađujuća

materije koju može jedan ekosistem da toleriše bez da izaziva štete u njemu. Najviše se kriti no optere enje određuje po regionima, a kako za naš region nisu poznate referentni podaci kriti nog optere enja za porede je uzeta referentna vrijednost za Evropu 3kgS/ha/godini i 5kg N/ha/godini [12]. U januaru mjesecu je depozicija sumpora vrlo visoka i iznosi 27,3349 kgS/ha mjesec što govori da je ovo područje u ovom periodu izloženo enormnom štetnom uticaju što može imati dalekosežne nepovoljne posljedice.

## 6. ZAKLJUČAKI

Zagađujuće materije emitovane u atmosferu nakon složenih međusobnih interakcija, u odsustvu atmosferskih padavina, se talože na zemljinu površinu kao suva depozicija.

U svijetu se suva depozicija uglavnom procjenjuje modeliranjem. Suve depozicije SO<sub>2</sub> za opština Bijeljina, procjenjene primjenom poznatih modela, su 0,4018kg/ha/mjesecu u julu i visoke u januaru 54,5183kg/ha/mjesecu.

Suve depozicije NO<sub>x</sub> za opština Bijeljina iznose u januaru 0,3884 kg/ha/mjesecu i 0,1312 kg/ha/mjesecu u julu.

Visoke depozicije su posljedica visokih emisija tačnih izvora emisija prvenstveno termoelektrana u bliskom okruženju i regionu, a velike razlike u depozicijama oba gasa u zimskom i ljetnom periodu su posljedice sagorijevanja uglja sa visokim sadržajem sumpora (4,5%) u gradskoj topnici, brojnim malim kotlovnicama i ostalim individualnim malim ložištima.

U januaru mjesecu 99% depozicija sumpora poti u od depozicija SO<sub>2</sub>, a u julu 64%, dok 91% depozicija azota u januaru poti u od NO<sub>x</sub>, a u julu 74%.

Procjenjeni potencijal zakiseljavanja (PAI<sub>(suva)</sub>) je 0,8597 kgH<sup>+</sup>/ha/mjesecu u januaru, dok u julu ima negativnu vrijednost -0,0878 kgH<sup>+</sup>/ha/mjesec.

Porede referentnih vrijednosti za kriti na optere enja koja važe u Evropi (3kgS/ha godina i 5kg N/ha godinu) govori da je područje opštine Bijeljina izloženo enormnom uticaju zagađujućih sumpornih materija u januaru što može imati dalekosežne nepovoljne posljedice.

## ABSTRACT

### DEPOSITION (DRY) OF POLLUTANTS IN THE AREA SEMBERIJA

*Pollutants emitted into the atmosphere is again deposited on the ground as wet or dry deposition. Dry depositions are estimated by modeling.*

*In this paper is estimated dry depositions of gases NO<sub>x</sub> and ions NH<sub>4</sub><sup>+</sup>, NO<sub>3</sub><sup>-</sup>, SO<sub>4</sub><sup>2-</sup>, Na<sup>+</sup>, Mg<sup>2+</sup> i Ca<sup>2+</sup> in January and in July 2013<sup>th</sup> in Bijeljina, and then is calculated potential of acidification by dry deposition of acid gases and ions (PAI<sub>(dry)</sub>).*

**Keywords:** dry deposition, pollutants, immission, acidification

Scientific paper

Received for Publication: 12.02.2014.

Accepted for Publication: 10.05.2014.

## LITERATURA

- [1] Khan, I.F., Abbasi A.S. : Cushioning the impact of toxic release from runway industrial accidents with greenbelts, Journal of Loss Prevention in the Process Industries 13, 2000.
- [2] Flechard C.R., Nemitz E., Smith R.I., Fowler D., Vermeulen A.T., Bleeker A., Erisman J.W., Simpson D., Zhang L., Tang Y.S. and Sutton, M.A., (2011): Dry deposition of reactive nitrogen to European ecosystems: a comparison of inferential models across the NitroEurope network, Atmos. Chem. Phys., 11, 2703-2728
- [3] Smith, R.I., Fowler, D., Sutton, M.A., Flechard, C. and Coyle, M. (2000): "Regional estimation of pollutant gas dry deposition in the UK: model description, sensitivity analyses and outputs" Atmos. Environ., 34(22), 3757-3777.
- [4] Wang, Y., Jacob, D.J. and Logan, J.A., Global simulation of tropospheric O<sub>3</sub>-NO<sub>x</sub>-hydrocarbon chemistry 1. Model formulation, J. Geophys. Res., 103 (D9), 10713-10725, doi: (1998), 10.1029/98JD00158.
- [5] Wesely, M. (1989): Parameterization of surface resistances to gaseous dry deposition in regional-scale numerical-models, Atmos. Environ., 23 (6), 1293-1304.
- [6] Alberta Environment Edmonton, Review and Assessment of Methods for Monitoring and Estimating Dry Deposition in Alberta, October ,2005., 3-19,47-53
- [7] Ilić P., Kontrola kvaliteta i istraživanje uticaja zagađenja vazduha u funkciji zaštite i unapredovanja životne sredine u Banjaluci, doktorska disertacija, Univerzitet u Novom Sadu 2010., 27-33
- [8] Lokalni akcioni Plan, Bijeljina, 2008.
- [9] Smith, S.J., Pitcher, H., and Wigley, T.M.L.: Global and regional anthropogenic sulfur dioxide emissions, *Global Planet. Change*, 29, 2001.
- [10] Alberta Environment Edmonton, AB, Refinement Study of Dry Deposition Inference, Methods Used in Alberta, June 2007., 5-16,86-98.
- [11] Pui, W.A.J., Potma, C.J.M. at al.: Report nr. 722401005, EDACS: European Deposition maps of Acidifying Components on a Small scale, National Institute of Public Health and Environmental Protection Bilthoven, the Netherlands, 1995. 38-42
- [12] Cerón, R.M., Cerón, J.G., Carballo, C.G., Aguilar, C. A., Montalvo, C., Benítez, J.A., Villareal, Y.J., Gómez, M.M., Chemical Composition, (2013): Fluxes and Seasonal Variation of Acid Deposition in Carmen Island, Campeche, Mexico, *Journal of Environmental Protection*, pp.4, 50-56